

Genetická diverzita volně žijících druhů

Dr. Martina Žurovcová, Ph.D.

"Nothing in biology makes sense except in the light of evolution."

Theodosius Dobzhansky (1970)

"Very little in evolution make sense except in the light of genetics."

Lots of people

Poděkování/ Acknowledgments

Kromě vlastních výsledků jsou v přednášce použity práce, materiály a informace těchto kolegů:

Christian Stauffer (výzkum Ips typographus; Institute of Forest Entomology, Forest Pathology and Forest Protection, BOKU-University of Natural Resources and Applied Life Sciences, Vienna, Austria)

Gill McVean (přednášky z populační a evoluční genetiky, University of Oxford, Department of Statistics, UK) <http://www.stats.ox.ac.uk/~mcvean/>

Douglas Futuyma (učebnice evoluční biologie "Evolutionary Biology", 3rd edition, Sinauer, 1998)

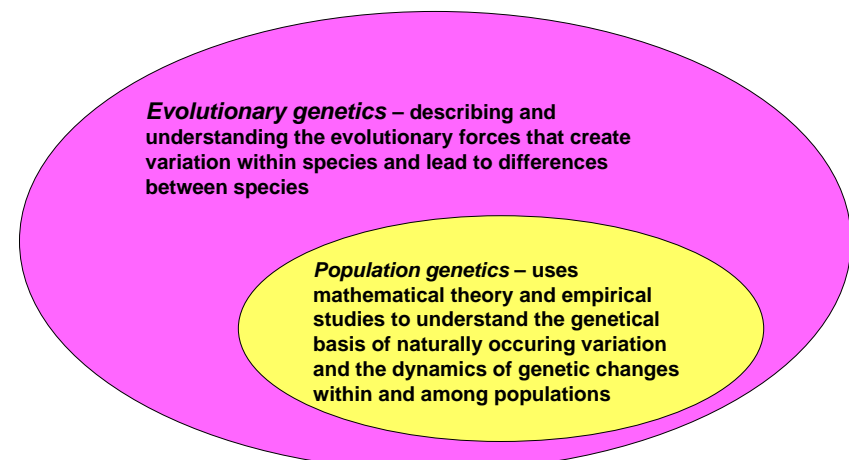
Jana Ždychová (bakalářská práce, Biologická fakulta JČU v Českých Budějovicích)
Lucie Kučerová (bakalářská práce, Biologická fakulta JČU v Českých Budějovicích)

Všem těmto kolegům děkuji za ochotu sdílet i nepublikovaná data.

Martina Žurovcová martina@entu.cas.cz

Evolution is a two-step process:

- 1) origin of the variability among individuals in populations
- 2) change in this variability from generation to generation (for this transfer, heritability is essential)



Studium vnitrodruhové variability lýkožrouta smrkového (*Ips typographus*, L.)



Lýkožrout smrkový jako škůdce lesních porostů



Šumava, Modrava



Bavorský les



Lýkožrout smrkový a jeho požerek



Studium vnitrodruhové variability lýkožrouta smrkového (*Ips typographus*, L.)

Hlavní cíle :

- druh *I. typographus* tvoří jedna velká populace anebo malé lokální populace ?
- můžeme od sebe lokální populace odlišit a odhadnout velikost migrace mezi nimi ?



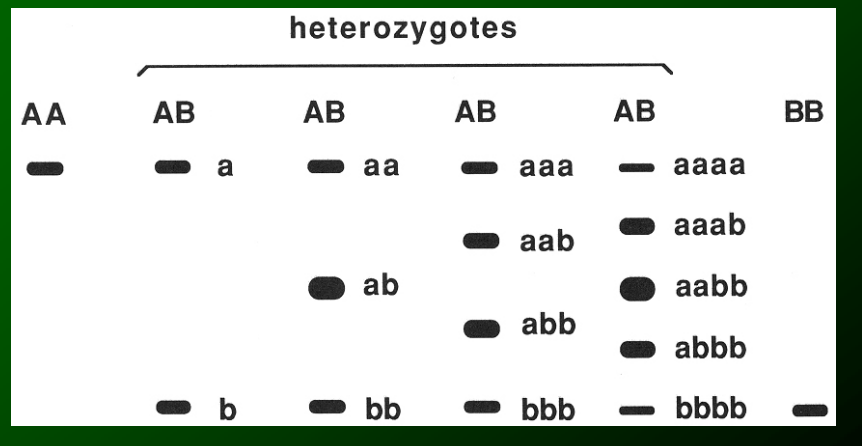
Hledání vhodných markerů

alozymy	- nedostatek heterozygotů a narušení HWE na lokální úrovni, rozlišení Skandinávie a střední Evropy, velká panmíklická populace
mtDNA	- malá variabilita, podařilo se objasnit kolonizační cesty <i>I. typographus</i> po poslední době ledové, fylogenetika rodu <i>Ips</i>
RAPD	- variabilita příliš vysoká, menší stupeň migrace, fylogenetika rodu <i>Ips</i>
mikrosateliity	- nepodařilo se izolovat dostatečný počet
nDNA	- isolace genů pro G6PD a Amy

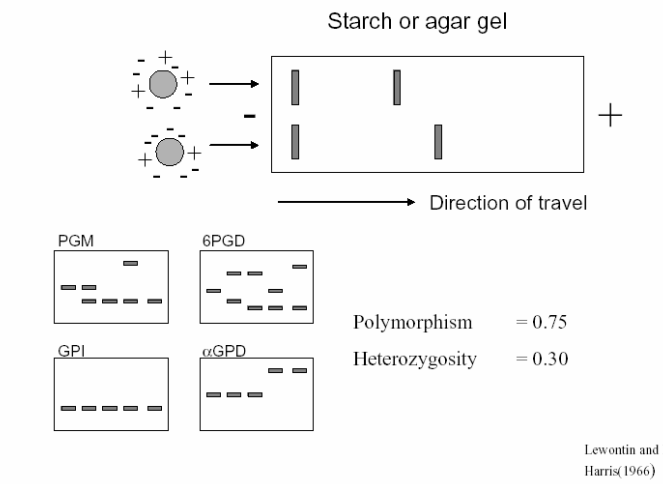


Alozymová analýza

Alozym - enzym (protein) kódovaný jedním lokusem, který se vyskytuje ve více dědičných formách, které nazýváme alely. Tyto alely se od sebe liší svou primární strukturou a vykazují odlišnou pohyblivost na elektroforéze.



Protein electrophoresis



Bakalářská práce

**Stanovení úrovně vnitrodruhové variability
lýkožrouta smrkového (*Ips typographus*, L.)
na základě alozymů**



Autorka:

Lucie Kučerová



Cíl práce

- Vytypovat a experimentálně odzkoušet maximální počet polymorfních alozymových markerů.
- Prozkoumat genetickou strukturu populací lýkožrouta smrkového na nižší zeměpisné úrovni (na území ČR) metodou alozymové elektroforézy.

!!! Vyvarovat se předchozích chyb !!!
 - odběr vzorků přímo z napadených stromů
 - správné rozlišení alel



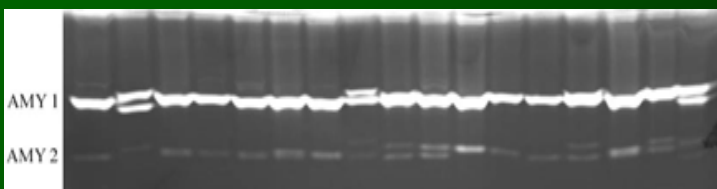
Metodika

- Vertikální polyakrylamidová diskontinuální elektroforéza (PAG) nativních proteinů
- Specifické substrátové barvení na detekci enzymů
- Nespecifické barvení (CoomassieBlue) na detekci obecných proteinů

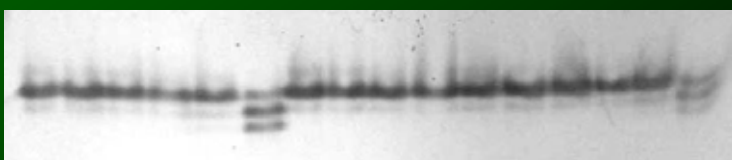


Profily vybraných markerů

α -Amyláza 1 a 2 (monomery, 2 lokusy, Amy1 - 7 alel, Amy2 - 8 alel)



Malátdehydrogenáza (dimer, 1 lokus, 5 alel)



Vyzkoušené alozymové markery

Alozymy s žádnou nebo velice slabou aktivitou:

- Kataláza EC 1.11.1.6
- Glukokináza EC 2.7.1.2
- Hexokináza EC 2.7.1.1
- I zocitrát-dehydrogenáza EC 1.1.1.42
- Leucin-aminopeptidáza EC 3.4.11.1
- Laktát-dehydrogenáza EC 1.1.1.27
- Mannosa-fosfátizomeráza EC 5.3.1.8
- Fosfoglycerátkináza EC 5.4.2.2
- Fosforyláza EC 2.4.1.1

- Úspěšně detekované alozymy :
- α -Amyláza EC 3.2.1.1 (2 lokusy)
 - Glukóza-6-fosfátdehydrogenáza EC 1.1.1.49 (1 lokus)
 - Malátdehydrogenáza EC 1.1.1.37 (1 lokus)
 - Enzym kyseliny jablečné EC 1.1.1.40 (1 lokus)
 - Fosfoglukoizomeráza EC 5.3.1.9 (1 lokus)
 - Fosfoglukomutáza EC 5.4.2.2 (1 lokus)
 - Proteiny bez enzymatické aktivity (PT) (3 lokusy)



Čechy :

Krkonoše
SM - Špindlerův Mlýn
KH - Kozí Hřbety

Šumava -Modrava
RP - Roklanský průsek
RH - U cesty k Roklanské hájovně
CH - Černá hora

Jindřichohradecko
C - Číměř
KS - Kunějovské samoty

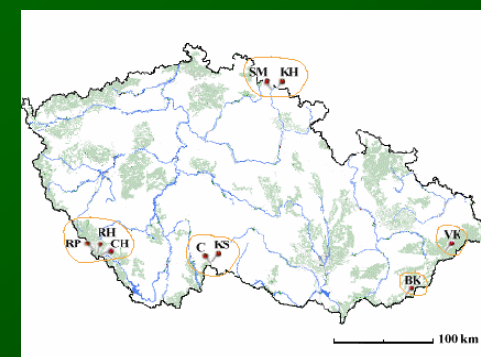
Morava :

Beskydy
VK - Velké Karlovice

Bílé Karpaty
BK - Vápenky



Studované lokality



Vzájemná vzdálenost : 2,65 - 356 km

Nadmořská výška : 521 - 1390 m n.m.



Hardy-Weinbergova rovnováha a testy homogeneity

Na úrovni lokalit :

Kozí hřbety (Krkonoše) - nerovnováha a nedostatek heterozygotů
 F_i MDH = 0,231; F_i PT1 = 0,659)

Ostatní lokality - v rovnováze

Na úrovni oblastí :

- test homogeneity zamítá příslušnost k jedné panmiktické populaci téměř ve všech oblastech, regionech i v celkové populaci

Vysvětlení

- Šumava - vysoké početní stavy lýkožrouta
- existence přirozených bariér (borové lesy na Jindřichohradecku, rozdíl v klimatu v Krkonoších)
- struktura krajiny
- možný vliv lokální selekce

Celkové charakteristiky variability

Průměrný počet alel na lokus $A = 4,20$

Podíl polymorfních lokusů (s 95% kritériem polymorfismu) $P = 0,3$
(s 99% kritériem polymorfismu) $P = 0,8$

Heterozygosita (observed heterozygosity) $H_o = 0,108$

Genetická diverzita (expected heterozygosity) $H_e = 0,111$

Hodnota v práci Pavlíčka et al. (1997) $H_e = 0,184$

Míra genetické diferenciace : $F_{ST} = 0,0185$

Genetický tok : $Nm = 13,3$ (9,57)

Počet detekovaných privátních alel = 4

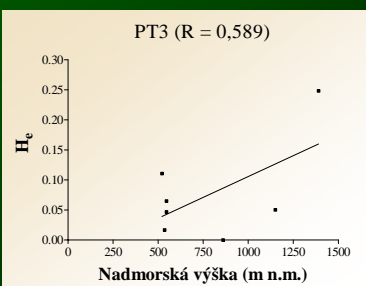
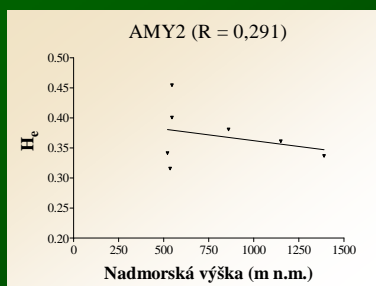
Závěr

Pokles heterozygosity během časového období 9 let způsobený fluktuacemi početnosti.



Klesá genetická diverzita s nadmořskou výškou?

- testování závislosti genetické diverzity na nadmořské výšce pomocí lineární regrese

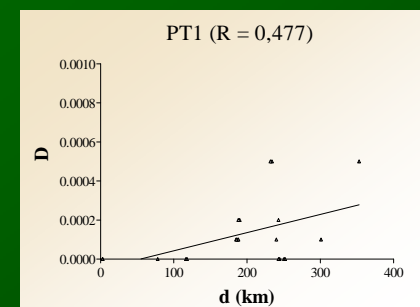


Závěr: Různé alozymové lokusy se chovají různým způsobem a celková diverzita nevykazuje žádný trend.

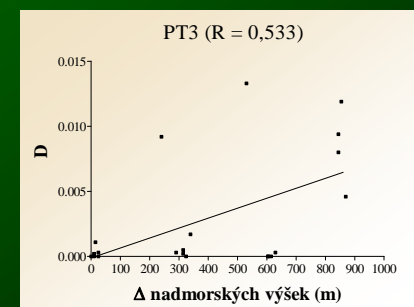


Genetická vzdálenost

Vliv geografické vzdálenosti



Vliv nadmořské výšky



Závěr

závislost genetické vzdálenosti na vzdálenosti geografické a na nadmořské výšce pomocí lineární regrese je průkazná jen v ojedinělých případech = možný "founder effect"



Závěr

- ↳ Byl zaznamenán pokles genetické diverzity, který můžeme vysvětlit fluktuacemi v počtovnosech lýkožrouta smrkového.
- ↳ Populace */ps typographus* žijící na území České republiky je podrozdělena do menších subpopulací vlivem lokálních podmínek.
- ↳ Velký vliv na rozdělení do subpopulací má také fáze populačního cyklu (přemnožení, ústup)
- ↳ Shlukovací analýza od sebe odlišila různá místa původního rozšíření a oblasti, kam byl */ps typographus* druhotně introdukován.

Budoucnost ????



The null model in evolutionary genetics

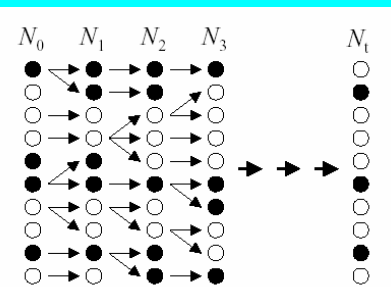
Let us suppose

Nothing interesting ever happens in biology.

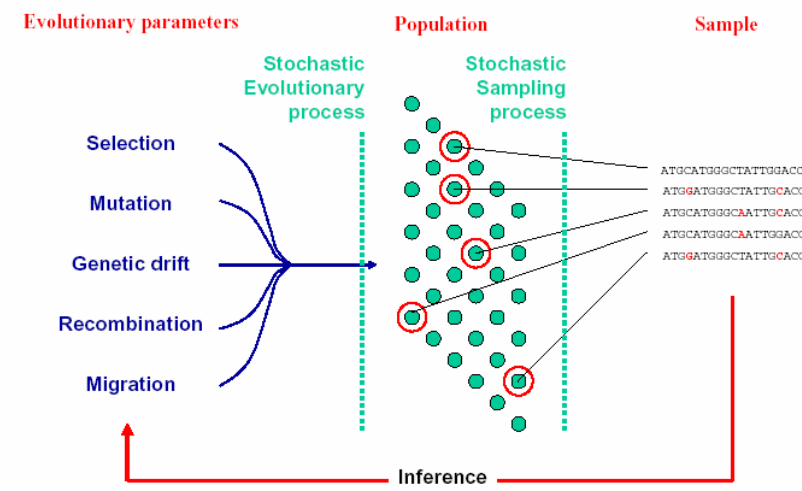
The Wright-Fisher population model

Assumptions

- sexual reproduction without selfing
- random mating with respect to genotype
- non-overlapping generations
- constant diploid size of N (2N alleles)
- no migration or selection
- mutations occur at a constant rate



Population genetic inference



Polymorphism

-at the gene level, a locus is said to be polymorphic if the most common allele has a frequency of less than 0.99

-in DNA sequence, every nucleotide site can be considered to be an allele:

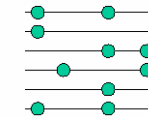
polymorphic site = existence of more than one nucleotide at this position within population (species)

divergence = means site which is monomorphic (fixed) within species but different between species.

Species - line	
D. melanogaster - USA	T T A T T T G G C
Africa	T T A G T T G G C
D. simulans - USA	G T A T C T T G C
Africa	G T A G T T T G C
D. yakuba - 1	G T G G T T G G C
2	G T G G T T G G C
Poly/Div	d d p p d

Statistics of polymorphism

Number of Segregating sites $S = 4$



Average pairwise differences $\pi = 1.9$

Seq	2	3	4	5	6
1	1	2	4	1	0
2		3	3	2	1
3			2	1	2
4				3	4
5					1

Number of distinct haplotypes $H = 5$

Patterns of variation at the DNA level

- Synonymous & nonsynonymous mutations

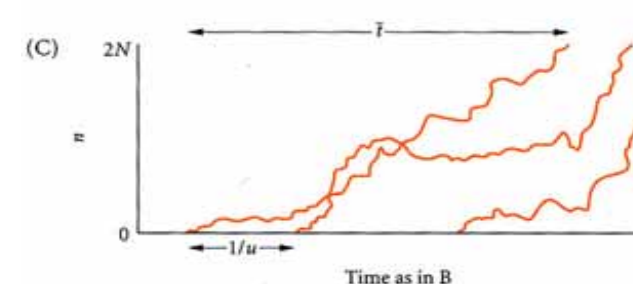
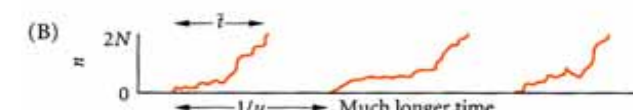
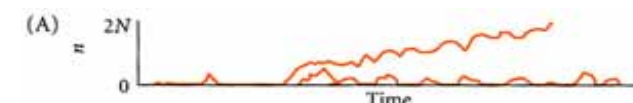


e.g. *D. simulans* $\pi_{\text{total}} = 0.010$ per site
 $\pi_{\text{silent}} = 0.038$
 $\pi_{\text{noncoding}} = 0.023$

- Nucleotide variation v. protein variation?

	Humans	<i>D. melanogaster</i>
Allozyme	6%	14%
Nucleotide	0.1%	1%

Fate of the new mutation in a population (Motoo Kimura – Neutral theory)



Features of the neutral theory

- The majority of changes in proteins and at the level DNA which are fixed between species, or segregate within species, are of no selective importance
- The rate of substitution is equal to the rate of neutral mutation

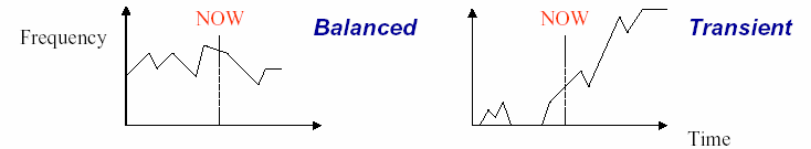
$$k = f_{\text{neutral}} \mu$$

- The level of polymorphism in a population is a function of the effective population size and the neutral mutation rate

$$\pi = 4N_e \mu$$

$$|\pi| < 1/(4N_e)$$

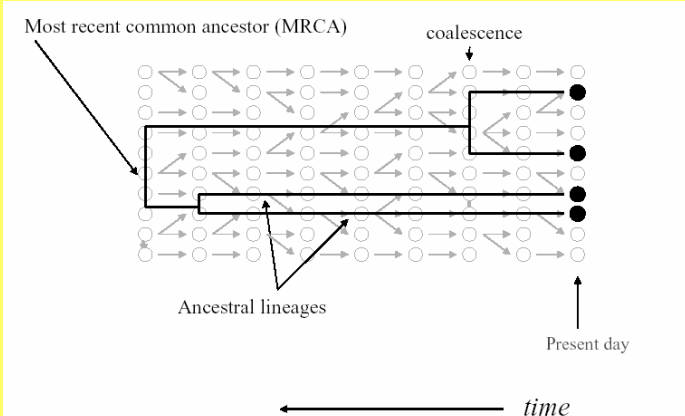
- Polymorphisms are transient rather than balanced



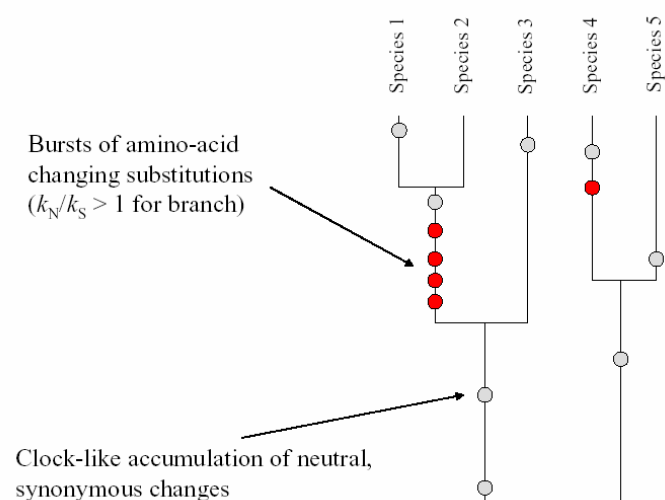
The coalescent theory

(J.F.C. Kingman)

- describes the genealogical relationships among individuals in a Wright-Fisher population
- all information about underlying evolutionary processes is in the underlying gene genealogy



Phylogenetic method



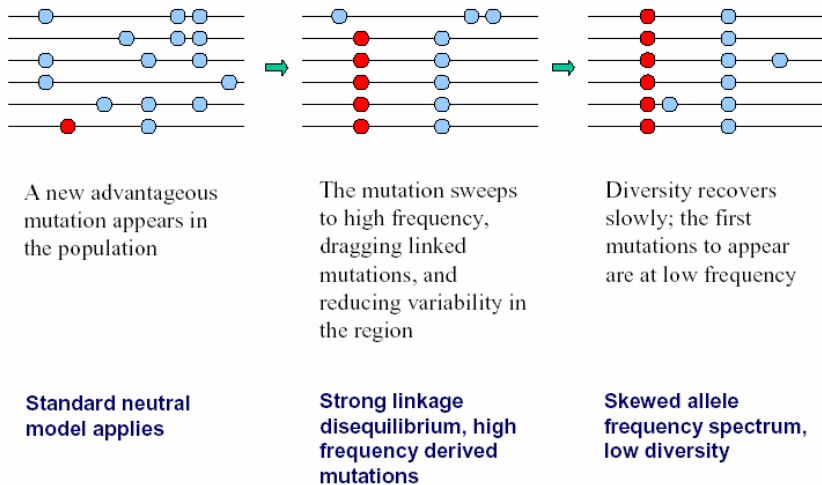
Selection: what are we looking for?

- What types of selection might we consider?
 - Directional selection (selective sweeps)
 - Balancing selection
 - Local adaptation (local selective sweeps)
- There are many ways of summarising data, how do we know which aspects will be most sensitive to the action of selection?
 - Models of selection
 - Formulation of test statistic
- How can we be sure that a deviation from the assumed model is due to selection?
 - Comparison to reference loci
 - Comparison across multiple populations
 - a priori* knowledge

Balancing selection

- Alleles that are maintained at a constant frequency by natural selection are called balanced mutations
 - Mutations causing malaria-resistant haemoglobinopathies
 - Alcohol dehydrogenase in *Drosophila melanogaster*
- Hb^+
- Neutral mutations that occur at linked sites on one background can only cross onto the other by recombination
 - Balancing selection leads to an increase in local diversity and strong haplotype structure
 - Like structured populations

The hitch-hiking effect of beneficial mutations



Local adaptation

- Localised selective sweep due to geographically restricted selection pressure
 - e.g. malaria, drug or pesticide treatment
- Pop1 Pop2
- Leads to local reduction of variability, strong linkage disequilibrium and strong geographical structuring of genetic variability around the locus of importance

Distinguishing selection from demographic effects

- Demographic processes can mimic selection
 - Population growth can look like selective sweeps
-
- Population subdivision can look like balanced selection
-
- Differences between loci can distinguish between genome-wide effects and the local effect of natural selection
 - BUT need to know about variance of demographic processes.....

Nucleotide variation in two developmental genes, *Idgf1* and *Idgf3*, of *Drosophila melanogaster*



Martina Zurovcova^{1,2}, Francisco J. Ayala²

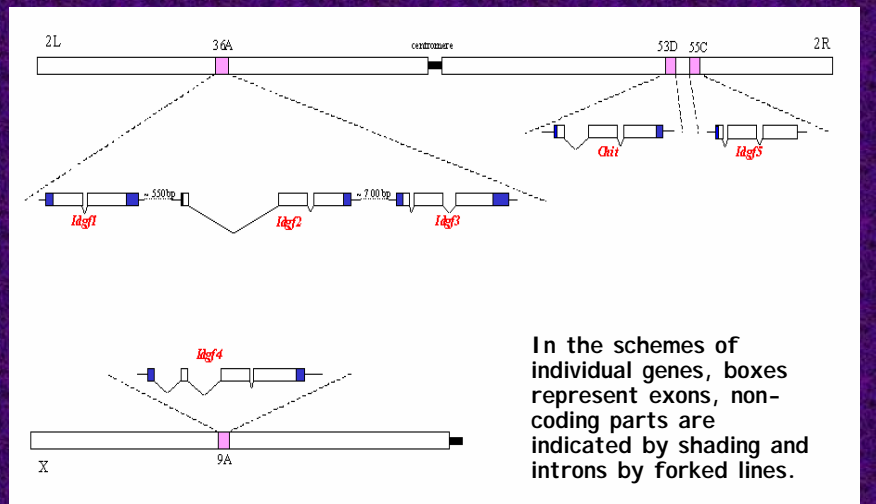
1) Institute of
Entomology, Czech
Academy of Sciences,
Ceske Budejovice



2) Department of
Ecology and Evolution,
University of California,
Irvine



Chromosomal localization and exon/intron structure of the *Idgf* genes



Drosophila melanogaster *IDGF* genes and their products

- small family of developmental genes identified by Kirkpatrick et al. (1995) and Kawamura et al. (1999)
- *Idgf1-3* are localized in a tight cluster in region 36A, *Chit* is in 53D, *Idgf5* in 55C and *Idgf4* is in 9A
- products of those genes are small secreted chitinase-related proteins without chitinase enzymatic activity
- *Idgf1* and *Idgf3*: - only ~4 kbp apart
 - intriguing organisation of introns (*Idgf3* has the first one shorter, *Idgf1* has only one intron)



Methods and materials

Flies :

D. melanogaster - 20 isogenic lines from one local population (Montblanc, Spain)

outgroups (from Drosophila Stock Center, Texas) - *D. simulans*
- *D. yakuba*

- PCR amplification of the targets (*Idgf1* and *Idgf3*)
- direct sequencing of the PCR product
- alignment of the sequences
- statistical analysis of the sequences (MEGA, DNAsp)



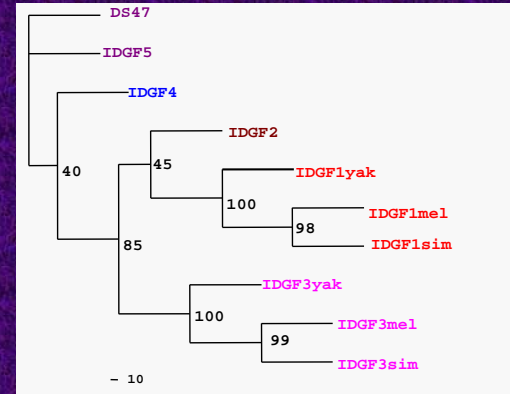
Alignment of sequences and formatting in Nexus

```
#NEXUS
[File generated by DnaSP Ver. 4.00.5, from file: idgf1.nex      IX 16, 2004]

begin data;
dimensions ntax=22 nchar=2032;
format datatype=DNA interleave gap=- missing=';
matrix
[          10    20    30    40    50    60    70    80    90]
[          *     *     *     *     *     *     *     *     * ]
line01 ATTCTGTAAACCTGTATTAGCTGACAGGGCATCACAAAACCCAAATAAAGTCGGAAAAACTACCTGTAATGCTGAAAC
line08 ATTCTGTAAACCTGTATTAGCTGACAGGGCATCACAAAACCCAAATAAAGTCGGAAAAACTACCTGTAATGCTGAAAC
line13 ATTCTGTAAACCTGTATTAGCTGACAGGGCATCACAAAACCCAAATAAAGTCGGAAAAACTACCTGTAATGCTGAAAC
line15 ATTCTGTAAACCTGTATTAGCTGACAGGGCATCACAAAACCCAAATAAAGTCGGAAAAACTACCTGTAATGCTGAAAC
line25 ATTCTGTAAACCTGTATTAGCTGACAGGGCATCACAAAACCCAAATAAAGTCGGAAAAACTACCTGTAATGCTGAAAC
line28 ATTCTGTAAACCTGTATTAGCTGACAGGGCATCACAAAACCCAAATAAAGTCGGAAAAACTACCTGTAATGCTGAAAC
line33 ATTCTGTAAACCTGTATTAGCTGACAGGGCATCACAAAACCCAAATAAAGTCGGAAAAACTACCTGTAATGCTGAAAC
line34 ATTCTGTAAACCTGTATTAGCTGACAGGGCATCACAAAACCCAAATAAAGTCGGAAAAACTACCTGTAATGCTGAAAC
line36 ATTCTGTAAACCTGTATTAGCTGACAGGGCATCACAAAACCCAAATAAAGTCGGAAAAACTACCTGTAATGCTGAAAC
line37 ATTCTGTAAACCTGTATTAGCTGACAGGGCATCACAAAACCCAAATAAAGTCGGAAAAACTACCTGTAATGCTGAAAC
line39 ATTCTGTAAACCTGTATTAGCTGACAGGGCATCACAAAACCCAAATAAAGTCGGAAAAACTACCTGTAATGCTGAAAC
line40 ATTCTGTAAACCTGTATTAGCTGACAGGGCATCACAAAACCCAAATAAAGTCGGAAAAACTACCTGTAATGCTGAAAC
line45 ATTCTGTAAACCTGTATTAGCTGACAGGGCATCACAAAACCCAAATAAAGTCGGAAAAACTACCTGTAATGCTGAAAC
line46 ATTCTGTAAACCTGTATTAGCTGACAGGGCATCACAAAACCCAAATAAAGTCGGAAAAACTACCTGTAATGCTGAAAC
line47 ATTCTGTAAACCTGTATTAGCTGACAGGGCATCACAAAACCCAAATAAAGTCGGAAAAACTACCTGTAATGCTGAAAC
line48 ATTCTGTAAACCTGTATTAGCTGACAGGGCATCACAAAACCCAAATAAAGTCGGAAAAACTACCTGTAATGCTGAAAC
line52 ATTCTGTAAACCTGTATTAGCTGACAGGGCATCACAAAACCCAAATAAAGTCGGAAAAACTACCTGTAATGCTGAAAC
line53 ATTCTGTAAACCTGTATTAGCTGACAGGGCATCACAAAACCCAAATAAAGTCGGAAAAACTACCTGTAATGCTGAAAC
line63 ATTCTGTAAACCTGTATTAGCTGACAGGGCATCACAAAACCCAAATAAAGTCGGAAAAACTACCTGTAATGCTGAAAC
line80 ATTCTGTAAACCTGTATTAGCTGACAGGGCATCACAAAACCCAAATAAAGTCGGAAAAACTACCTGTAATGCTGAAAC
simidi ATTCTGTAAACCTGTATTAGCTGACAGGGCATCACAAAACCCAAATAAAGTCGGAAAAACTACCTGTAATGCTGAAAC
yakid1 ATTCTGTAAACCTGAATTAGCTGACAGGGCATCACAAAACCCAAATAAAGTCGGAAAAACTACCTGTAATGCTGAAAC
```



What is the phylogenetic relationship among *Idgfs*?



Phylogenetic tree of the *Idgf* family based on amino-acid sequences (maximum parsimony method, 10.000 bootstrap replications; MEGA software)



Conclusions

- Phylogenetic analysis, codon bias and G+C content of *Idgf*s show that the genes in the tight cluster in 2L are much more similar to each other than to the rest, but this pattern does not hold for the genes in 2R.
- From the exon/intron structure it can be assumed that the ancestral gene had at least two introns and the loss of an intron in *Idgf1* is a recent event.
- Recovery of adequate homologs for at least two genes from this family from *D. simulans* and *D. yakuba* manifests that the origin of this gene family predates the split of these species.



Is there any difference in the amount of polymorphism and divergence between *Idgf1* and *Idgf3*?

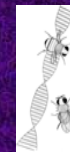
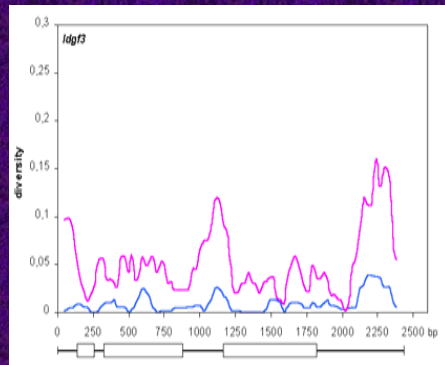
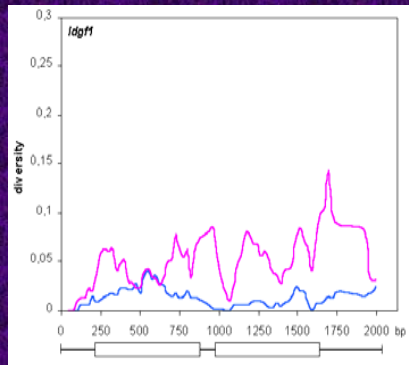
Levels of nucleotide diversity of *Idgf1* and *Idgf3*

# of lines	<i>Idgf1</i> 20	<i>Idgf3</i> 20
bp (gaps excluded)	1905	2364
S (segregating sites)	69	64
π_{total} (per site)	0.01286	0.00852
θ_{total} (per site)	0.01021	0.00763
H (number of haplotypes)	17	14
Hd (haplotype diversity)	0.989	0.979
R (recombination rate per bp)	0.02520	0.01324
K _{total} (divergence)	0.04745	0.04762



Distribution of polymorphism and divergence

π — K —
(sliding window profile, window size =100, step =25;
gaps excluded; boxes represent coding regions,
horizontal lines noncoding regions)

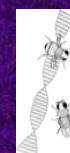
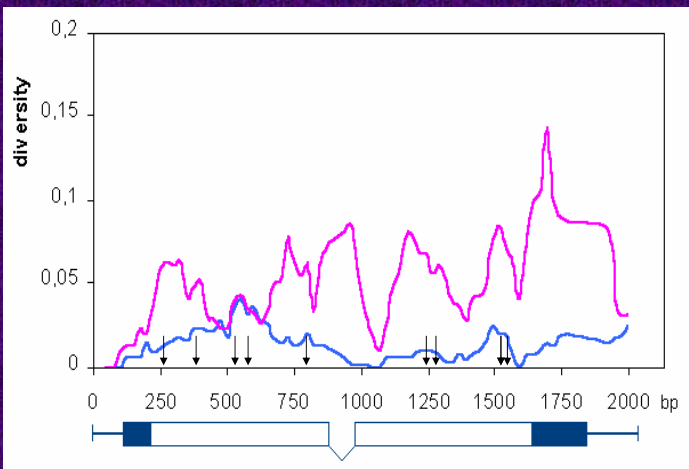


Tests of neutrality

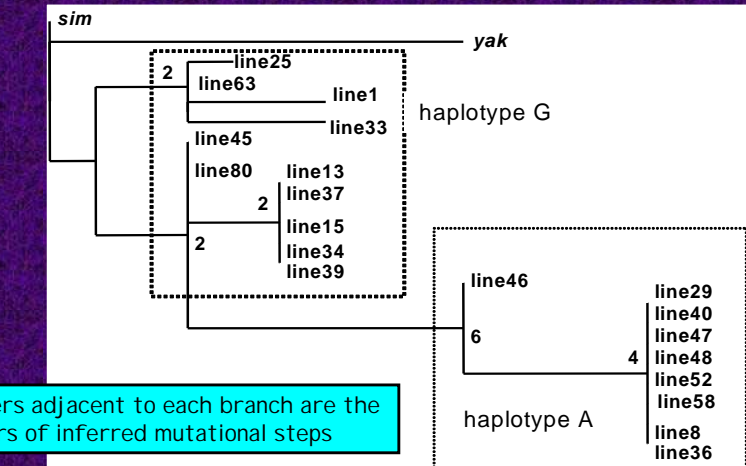
Test	<i>Idgf1</i>	<i>Idgf3</i>
Ka/Ks	0.0902	0.0841
MK	ns	ns
HKA (silent sites)	*	ns
Tajima's D	1.05697 ns	0.47322 ns
Fu/Li D (with outgroup)	1.66939 *	0.35377 ns
F (with outgroup)	1.78931 *	0.48419 ns
pattern of nucleotide variability	excess of syn. polymorphisms	neutral
mode of evolution	balancing selection	neutral



Positions of the replacement polymorphisms in *Idgf1*



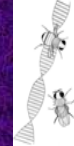
Phylogram of the most parsimonious tree for the "haplotype" region





Conclusions

- *Idgf1* and *Idgf3* have higher levels of polymorphism than the average amount in *D. melanogaster* genes, and the distribution of polymorphisms across the loci is not uniform.
- The neutrality tests indicated that *Idgf3* evolves neutrally, while *Idgf1* is under balancing selection
- As *Idgf1* and *Idgf3* are only ~ 4 kbp apart, it is quite surprising that they are probably under different selective constraints.



Continuing research

- what is the origin of the *Idgf* gene family and how are the individual genes shaped by selection ?
- Phylogenetic approach - screening more distant species - finding the original ancestral gene and dating the duplications
- Population genetics approach - screening the patterns of polymorphism and divergency of all *Idgfs* in two distant populations

Martina Žurovcová martina@entu.cas.cz